

Versuchslaboratorium  
A.N.27/42 &

Leuna Werke, 11.2.1942  
Dr.Gem./Le.

00000532

Zusammenstellung über die technische Planung und Fahrweise in der großtechnischen Oxo-Anlage in Oberhausen-Holten

3043  
B  
W  
RQ  
I  
30/4  
Target  
002

Dieser Bericht ist auf Grund der Auskünfte der Herren Dir.Dr.von Asboth, Dr.Roelen und Dr.Landgraf (Ruhr-Chemie) anlässlich ihres Besuches in Leuna am 16./17. Januar 1942 und folgender schriftlicher Unterlagen zusammengestellt: Aktennotiz Versuchslabor. 43/40 vom 25.4.40 und Bericht Dr.Schüster und Dr.Haussmann vom 14.11.1940 über den Besuch bei der Ruhrchemie am 11. und 12.9.1940.

Ausgangsmaterial

Als olefinisches Ausgangsmaterial für die Synthese ist es gedacht, "Primär-Olefin" aus der Fischer-Synthese einzusetzen. Die Ruhrbenzin und Hoesch wollen ihre Anlagen umstellen, sodass ein stark olefinhaltiges Gasöl anfällt. Die Umstellung soll in einer Änderung des Verhältnisses CO/H<sub>2</sub> beruhen. Das Synthesegas soll CO-reicher gefahren und nach jeder Synthesestufe Wasserstoff zugespeist werden. Bei dieser Fahrweise soll es gelingen, ein Produkt mit mit 33-40 % Olefin im Bereich der Kettenläng C<sub>11</sub>-C<sub>17</sub> zu erhalten.

Destillation des Eingangsolefins

Es ist gedacht, das Eingangsolefin in 4 Siedestreifen zu zerlegen und zwar wie folgt:

Gesamtumsatz an Rohprodukt, wie es von der Ruhrbenzin und von Hoesch angeliefert wird, = 39 000 Jato.

Einzelfraktionen

Bezeichnung	Siedegrenze bei Atm.-Druck	Siedelücke	Menge Jato
Umlauf	unter 174		4 000
C <sub>11</sub> + C <sub>12</sub>	174 - 215	174 - 179	10 400
C <sub>13</sub> + C <sub>14</sub>	215 - 253	215 - 220	8 100
C <sub>15</sub> + C <sub>16</sub>	253 - 286	253 - 258	7 000
C <sub>17</sub>	286 - 303	288 - 292	3 500
Rückstand	über 306	305 - 306	6 000

Die in dieser Tabelle angegebenen Werte sind durch Versuche der Ruhr-Chemie ermittelt worden. Die Siedelücken zwischen den einzelnen Siedebändern seien willkürlich gefunden worden sein.

Die Destillation soll als diskontinuierliche Blasendestillation ausgebildet werden und wird von der Firma "Bamag" erbaut werden.

Es sind zwei Destillationsanlagen vorgesehen, wovon das eine atmosphärisch und das andere mit Vakuum betrieben werden soll.

Die atmosphärische Destillation dient zur Destillation des Vorlaufes, der Fraktion C<sub>11</sub>/C<sub>12</sub> und eines Teiles der Fraktion C<sub>13</sub>/C<sub>14</sub>. Die atmosphärische Destillation ist für 62-63 tato Einsatzprodukt ausgelegt.

In der Vakuumdestillation werden der Rest der Fraktion C<sub>13</sub>/C<sub>14</sub> und die Fraktionen C<sub>15</sub>/C<sub>16</sub> und C<sub>17</sub> destilliert. Die Destillation ist für 45 tato Einsatzprodukt ausgelegt.

Die abgenommenen Zwischenfraktionen werden bei der nächstfolgenden Destillation mit eingesetzt. Das Verhältnis Destillat zu Rücklauf wird an den Fraktionsgrenzen wesentlich gesteigert und beträgt im Mittel 1 : 15.

#### Lagerung der Siedebänder

Für die Lagerung der Siedebänder sind sehr große Laps vorgesehen, damit trotz ungleichmäßigen Rohproduktes (Hösch und Fuhrbenzin) der Olefingehalt der Einzelfraktionen möglichst konstant bleibt, um die Durchführung der Oxo-Reaktion zu erleichtern. Das Arbeiten mit Programmschreiber wäre sonst nicht möglich.

#### Anordnung und Verteilung der Einzelapparate

Die Anlage besteht aus 9 gleich gebauten "Strängen", die alle aufeinander folgend angeführten Apparaturen beinhalten.

- 1.) 1 Annäherungshebel
- 2.) 1 Oxierungsöfen mit 1 CO/H<sub>2</sub>-Umlaufpumpe
- 3.) 1 Hydrierungsöfen mit 1 H<sub>2</sub>- " "
- 4.) 1 Druckfilter

Da die einzelnen Siedebänder der Mengen nach sehr verschieden groß sind, so ist gedacht, die 9 vorgesehnen Stränge wie folgt zu verteilen:

1. Fraktion (C<sub>11</sub> + C<sub>12</sub>) 4 Stränge
2. " (C<sub>13</sub> + C<sub>14</sub>) 2 "
3. " (C<sub>15</sub> + C<sub>16</sub>) 2 "
4. " C<sub>17</sub> = 1 Strang

Die Hochdrucköfen (insgesamt 18 Stück) sind vollständig gleich gebaut im einzelnen wie folgt:

#### Hochdrucköfen

Jeder Hochdruckofen besteht aus einem 12 m langem Rohr mit 400 mm Durchmesser. Die Röhre sind bei der Firma Schneider-Creuzot bestellt worden und sollen aus einem niedrig legierten Chromstahl hergestellt werden.

Zur Abfuhrung der Reaktionswärme wird in jedem Ofen ein Kühlrohrbündel eingebaut, das aus 32 Kühlrohren mit je 30 mm Innendurchmesser besteht. Die Entfernung der einzelnen Kühlrohre beträgt 50 - 70 mm, so daß der Weg eines Teilchens bis zum nächsten Kühlrohr im Mittel ca. 30 mm beträgt. Es ist nicht daran gedacht, den Ofen mit einem Kühlmantel zu umgeben.

Ofenmaße: Durchmesser innen = 400 mm  
 Länge = 12 000 mm  
 Rohrverschnitt = 1 250 cm<sup>2</sup>  
 Inhalt/lfd. m. = 125 l

Wandabnahmen: 32 Hochdruckrohre mit 50 mm Außendurchmesser  
 Rohrumfang = 10 cm  
 Rohrquerschnitt (außen) =  $7 \text{ cm}^2$

Fläche der Kühleinbauten am lfd. Meter =  $10 \cdot 100 \cdot 32 = 32000 \text{ cm}^2$   
Flächen der Kühleinbauten am lfd. Meter =  $7 \cdot 100 \cdot 32 = 22500 \text{ cm}^2$

Kapazität nach Abzug des Volumens der Kühleinbauten =  $102,5 \text{ l lfd. m}^2$   
Wandfläche je Flächeneinheit =  $32000 : 102,5 = 314 \text{ cm}^2 / 1 \text{ Flächeneinheit}$

Die Druckteile sind für 300 Atm. Betriebsdruck ausgelegt, obwohl  
Reißdrücke nur 150 Atm. vorgesehen sind

### Wandabnahmen an den Hochdrucköfen

Wandabnahmen in den Hochdrucköfen sind zwei Meßstellen vorge-  
sehen, die erste ist auf dem Kühleinbauten am obersten Teil der Maische und die zweite  
ist von diesem Flansch entfernt. Die Meßstellen werden Thermos-  
chalter verwendet, da diese rascher anzeigen als Widerstandsthermo-  
meter. Es ist vorgesehen, das untere Element mit dem Siemens-Programm-  
multitester zu kuppeln.

### Programmzähler

Der Zähler ist eine Neukonstruktion von Siemens, die sich bei Nutzen-  
gen des Zählers bestens bewährt hat für die Temperaturhaltung der Fischer-  
öfen. Der Regelzähler ist auf einer jeden beiden Meßstellen eines Multither-  
mosters angegeschlossen, der alle 8 Minuten punktet. Die Neuerung der  
Zeitmessung erfolgt durch elektrische Steuermotoren, die ihrerseits über  
mit Hilfe von Quecksilberkippelementen, die der Regler betätigt,  
arbeiten. Das Temperaturintervall, in dem der Regler arbeiten soll,  
ist 1,5-2°C angegeben. Der Bedienungsmann hat bei Benutzung des  
Reglers ohne Programm nichts weiter zu tun als mit Hilfe von 2 roten  
Zeigern auf einem Temperaturskala das gewünschte Temperaturintervall

### Wasserstoff

Der Wasserstoff ist Koks-Wassergas und wird von der Fischer-Synthe-  
se abgezogen. Das Gas hat einen Schwefelgehalt von unter  
1% an organisch gebundenem Schwefel.

### Wasserstoff

Der Wasserstoff wird aus Kohlegröte durch Zersetzung gewonnen.  
Die letzten Reste CO werden durch Auswaschen mit flüssigem Stick-  
stoff beseitigt bis auf einige Hunderttausendstel % CO. Der Ge-  
halt an organischen Schwefelverbindungen liegt wie beim Wassergas  
unter 1% im Gas.

### Kalorimeter und Wärmeleistungsermittlung

Die Abgase gehen mit einem Druck von 150 Atm. in die Oxo-Anlage. Die  
Abgase aus der Oxo-Anlage gehen mit einem Druck von 20 Atm. für Wassergas und  
für Wasserstoff in das Verteiler-Raumzirk. zurück. Da die

ursprünglich waren 4 Meßstellen vorgesehen. Da man aber mit einem  
Multitester, der alle 8 Minuten punktet, nur alle 32 Sekunden eine An-  
zeige bekommen würde, begnügte man sich mit 2 Stellen. Der Platz  
zur Aufstellung mehrerer Multis ist nicht vorhanden.

Hauptkompressionsarbeit zwischen 0 und 20 Atü zu leisten ist, wird der Energieverlust, der durch das Entspannen eintritt, nicht zu stark ins Gewicht fallen. Zur Füllung der Oxierungsöfen komprimiert ein kleiner Zusatzkompressor das Wassergas von 20 auf 25 Atm., damit dieser die Maische aus dem Meßgefäß gegen 20 Atü in den Ofen drücken kann.

#### Katalysator

Der Katalysator ist der normale Fischer-Synthesekontakt vorgesehen, der in körniger Form reduziert und dann gemeinsam mit der umzusetzenden Oleinfaktion vermahlen werden soll.

Auf je 10 l Oleinfaktion sollen 1 Liter körniger Kontakt genommen werden, was einer Maischekonzentration von 3,5-4 % entspricht, d.h. 3,5-4 kg Kontakt auf 100 l Oleinfaktion. Der Kontakt wird absichtlich nicht sehr fein gehalten, um bei der Filtration keine großen Schwierigkeiten zu haben.

#### Rohrweg des diskontinuierlichen Autoklaven-Verfahrens

##### a) Maische

Die Maische wird in einem druckfesten Meßbehälter vorbereitet. Der Gehalt ist auf ca. 100° vorgeheizt, ist mit einem Rührer versehen und zeigt einen Überlauf, so daß genau eine Ofenfüllung im Meßbehälter vorliegt.

##### b) FÜLLUNG DER OXIERUNGSÖFEN

Der Oxierungsöfen steht nach jeder Charge in Verbindung mit dem Synthesegasleitz und hat daher 20 Atm.-Druck. Der Meßbehälter wird durch unter 20 Atm. CO/H<sub>2</sub> gesetzt und mit Hilfe eines kleinen Zusatzkompressors, der das Wassergas von 20 auf 25 Atm. komprimiert, wird die Maische in den Hochdruckofen gedrückt. Die Maische ist im Meßbehälter auf ca. 100° vorgewärmt worden und gelangt durch die abgeheizte Füllleitung mit dieser Temperatur in den Ofen. Das Gas, das durch den Eintritt der Maische in den Ofen strömmt, zieht in die 20 Atm. Synthesegasleitung zurück.

Während der Füllung des Ofens mit Maische läuft die Gasumlaufpumpe mit geringer Leistung weiter, um eine Versetzung der Gasleitung in den Ofen zu verhindern. Ist der Ofen mit Maische gefüllt, was sehr schnell gehen soll, so wird Gasentspannungsventil 150 Atm. CO/H<sub>2</sub> geöffnet. Die Ofen werden zu 7 m Höhe mit Maische Flüssigkeit und zur obere freie Raum soll zur völligen Trennung von der Entspannung von Interesse gedacht und darf daher der Gasraum im gesperrten Zustande nicht unterschreiten. Die Gasmenge, die in Folge der hierdurch entstehenden Umlaufpumpenleistung richten, ist abzuschätzen. Der Gasstrom wird durch Verstellung des Drosselventils auf ein bestimmtes Volumen im Vergleich zur auf dem Ofen befindlichen, abzuschätzen mit einer Drosselscheibe gemessen. Der Umlaufpumpenstrom wird während des Laufes durch Verstellung des Drosselventils auf eine Gasbelastung von 0-160 Normalliter/min. eingestellt und gestoppt und Stunde.

Durch Anschluß zur Umlaufpumpe wird die Maische auf ca. 125°C gebracht und diese Vorschrift an die Betriebsanleitung auf den Ofen gegeben. Das Gas

tritt ohne Vorheizung in den Ofen unten ein. Die Kühlung des oben heiß abziehenden Gases soll durch Einbau einer Kühlschlange in dem Hochdruckofen erfolgen.

Die für die Oxo-Reaktion erforderliche "Ansprinttemperatur" liegt ~~im Bereich zwischen 125-130°C~~. Die genaue Temperatur muß jeweils für die zur Umsetzung gelangende Maische (Olefingehalt und Kettenlänge) und für die Apparatur empirisch bestimmt werden. Die Temperatur darf im Ofen speziell am Anfang der Reaktion nicht zu hoch steigen, da sonst die Reaktion zu rasch abläuft und durch teilweise Hydrierung des Aldehyds die Gesamtärme der Reaktion so groß wird, daß der Ofen nicht mehr zu halten ist. Für diesen "Katastrophenfall" wird die Einspritzung von Kaltwasser in das Kühlohrsystem eingerichtet. Ist die "Ansprinttemperatur" erreicht, was sich durch einen Temperaturanstieg im Ofen und durch gesteigerten Gasverbrauch bemerkbar macht, so wird das Frischdampfventil geschlossen. Steigt die Temperatur in der Maische um weitere 2°C, so wird das Dampfentspannungsventil geöffnet und so lange Dampf entspannt, bis die Temperatur im Ofen wieder innerhalb der vorgeschriebenen Grenzen liegt. Es muß dabei sehr darauf geachtet werden, daß der Ofen nicht zu stark abkühlt und die Reaktion aufhört (Zersetzen des Ofens). Die Hauptreaktion soll in 15-20 Minuten ablaufen. Um den Umsatz der Olefine möglichst vollständig zu gestalten, wird die Temperatur vorsichtig bis auf 140-145°C gesteigert, wobei dann die schwer reagierenden Olefinanteile reagieren sollen.

Die Temperaturregulierung soll während des Anfahrens der Anlage von Hand aus geschahen unter Mit Hilfe eines Siemens-Kompensationsreglers. Sobald für die einzelnen Siedebänder die erforderlichen Reaktionstemperaturen und Reaktionszeiten empirisch gefunden worden sind, soll der Kompensationsregler als Programmregler wirken und dadurch den temperaturmäßigen Ablauf der Reaktion vollständig automatisieren.

Der Endpunkt der Reaktion wird nach Schließung des Netzventils durch Beobachtung des Druckabfalls im Ofen mit Hilfe eines sehr empfindlichen "Kälbedruckmessers" bestimmt.

Ist die Reaktion beendet, so wird das Frischdampfventil geschlossen und der Ofen auf 20 Atm. in das Synthesegasnetz entspannt. Die Umlaufpumpe läuft dauernd weiter, jedoch mit geringerer Leistung, lediglich damit die Gasleitung in dem Ofen nicht verlegt wird.

#### Umlaufung in den Hydrierofen

Der Hydrierofen steht gasseitig mit dem 15 Atm. Wasserstoffnetz der Zentralanlage in Verbindung. Durch den Differenzdruck Wassergas zu Wasserstoff = 26:15 Atm. erfolgt die Umläufung. Bei geringem Druckunterschied ist diesholm gewählt worden, um den Verschleiß der Ventile möglichst zu verhindern. Um das Überleiten von Wasserstoff in den Wasserstoff zu verhindern, ist gedacht, eine Standmessung oder eine andere Anzeige einzubauen über dessen Konstruktion noch keine Klarheit besteht.

#### Hydrierung

Der Hydrierofen ist genau gleich wie der Oxo-Ofen gebaut und soll auch gleich gefahren werden. Die Hydrierung wird mit 150 Atm. H<sub>2</sub> durchgeführt. Die Temperatur soll zwischen 180 und 185°C gehalten werden. Die Hydrierung soll in ca. 42 Stunde beendet sein.

### Entleerung des Hydrierofens

Nach erfolgter Hydrierung wird das Gas des Hydrierofens bis auf 15 Atm. in das Wasserstoff-Rückgasnetz, das unter 15 Atm. steht, entspannt. Mit 5 Atm. Betriebsdruck wird die Masse aus dem Hydrierofen in das Filter gedrückt, das unter 10 Atm. gehalten wird.

### Filtration des Kontaktes

Filter: Die Filter sind als Planfilter gedacht. Jedes Filter soll so groß sein, daß es eine Ofenfüllung faßt. Die Filter sind für 10 Atm. Betriebsdruck ausgelegt und mit Heizung versehen. Als Filtermedium soll eine Filterplatte aus feinporigem keramischem Material verwendet werden. Der Rührer im Filter soll als langsam laufender Streichschab-Rührer ausgebildet sein und in seiner Höhenlage verstellt werden können. Die spezifische Filterleistung wird zu 500 l Filtrat/m<sup>2</sup> Filtermedium und Stunde angenommen.

Das Filter wird mit 10 Atm. Druck betrieben, und es wird heiß filtriert. Es ist gedacht, den Kontaktkuchen im Filter möglichst trocken zu blasen, um nur sehr wenig umgesetztes Produkt bei der Anmäßigung des Kontaktes mit frischem Olefin in den Kreislauf zu bekommen. Dadurch ist angeblich Ausbeutesteigerung um 1/4 % zu erwarten. Im Filter bleibt eine Kontaktsschicht von 4 mm, die die Rolle des Filtermediums übernehmen soll. Diese Schicht kann beim Zurückgehen einer neuen Schicht ersetzt werden. Das von der Filtration entspannte Gas geht in eine Rückgasleitung mit 200 mm Wassersäule.

### Fertigdestillation

Zur Aufarbeitung der in der Hochdruckstufe umgesetzten Produkte sind 7 einzelne Blasendestillationen geplant, die ebenfalls von der Firma "Bamag" gebaut werden sollen.

Die Fraktionen I und II werden in je einer Destillation mit 37-38 tato Leistung eingesetzt und nach Abdestillation des Neutralöles (Paraffin + unumgesetztes Olefin) werden die entsprechenden Alkohole übertragen. Für die Fraktionen III und IV sind je zwei Blasendestillationen vorgesehen, wovon die eine zum rektifizierenden Abdestillieren des Neutralöles und die zweite zum bloßen Übertrieben des Alkohols dienen soll.

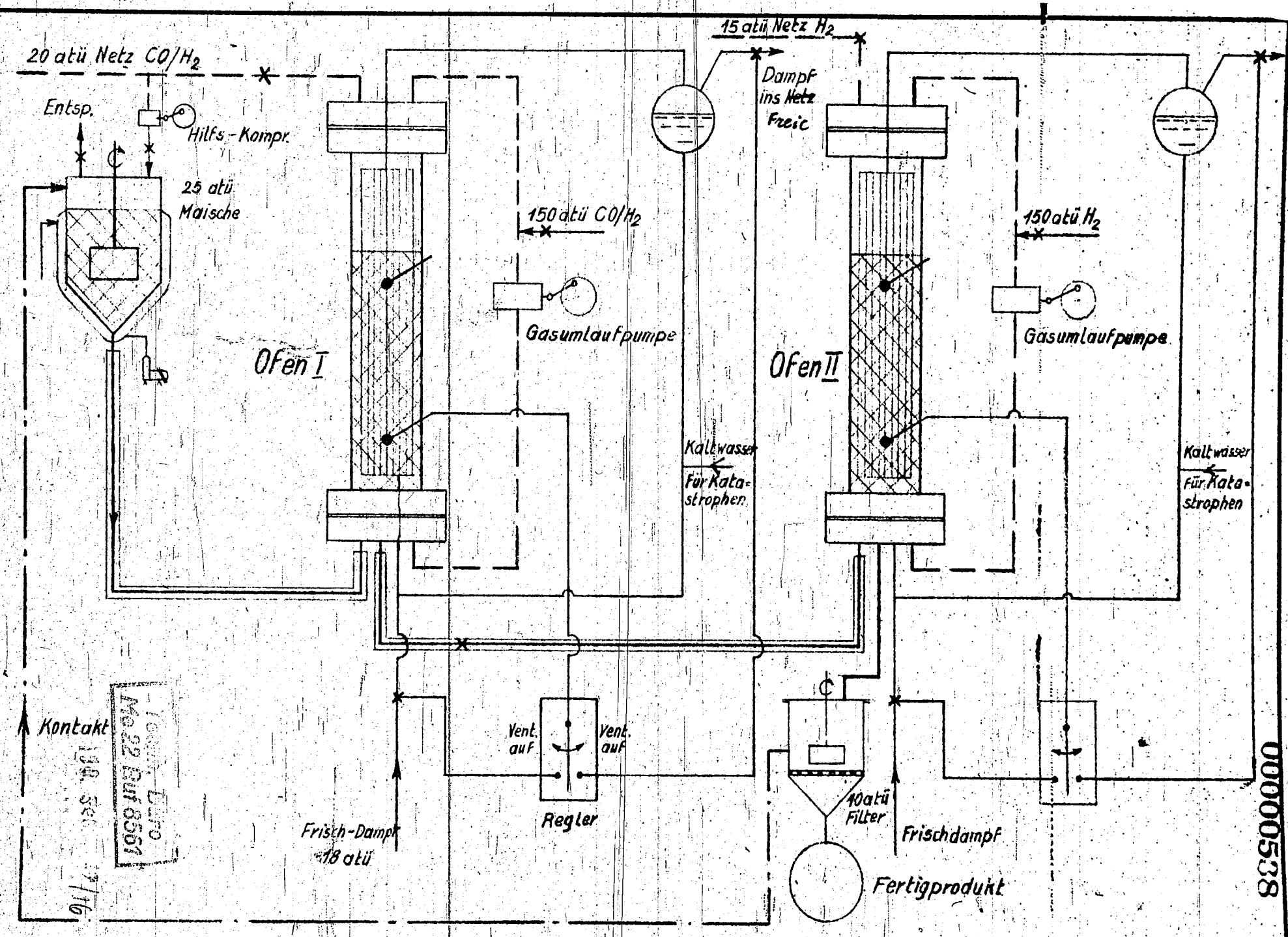
Die Destillationen haben folgende Leistungen:

Fraktion III 25 tato und 9 tato

" IV 12 " und 5-6 tato

Die hochsiedenden Rückstände (Dicköl) werden von allen Destillationen gesammelt, und es ist vorgesehen, diese durch einfaeches Übertreiben im Kühler mit Wasserdampf zu reinigen. Für diesen Zweck dient eine Destillation mit 10 tato Leistung.

Die Destillationblasen sind für Heizung mit Höchstdruckdampf oder Druckwasser gebaut. Sämtliche Destillationen sind für Vakuum ausgelegt, und die Blasen, aus denen die höher siedenden Fraktionen destillieren, sind mit Vorrichtungen zur Zirkulation von Wasserdampf versehen.



00000539

Leuna Werke, den 25. Februar 1942

Ose 1

W. H.

Eeg Target  
3043 - 30/4.02

Dr. Eckhardt

Über die Reaktionsprodukte des Oxo-Verfahrens

Werkstoffprüfung

Seite

Einleitung

- I. Versuche am Iso-hexan  
a) Untersuchung der Reaktion mit Aldehyden und Produkte 2
- b) " " des Pyridins 3
- c) " " des Phenols 4
- d) Versuche mit Iso-hexan und Polymeren von Styrol 5
- e) Zusammenstellung der Produkte 6

II. Versuche mit Cyclohexan

- a) Untersuchung der Reaktion mit Aldehyden und Produkte 7
- b) " " des Pyridins 8
- c) Zusammenfassung der Reaktionen 9

III. Versuche mit ButanolIV. Zusammenfassung

- V. Untersuchung von technischen Produkten  
a) Versuchsanordnung 10
- b) Versuche mit Paraldehyd 11
- c) Versuch mit Lauroylchlorid 12

neuen AlkoholeUntersuchungen

Ergebnisse der Untersuchungen sind im folgenden gegeben

00000511

Wiederholung: Die Reaktion ist so gut bekannt, dass sie  
in Lehrbüchern (und hier verbatim aufgezählt) bei einem gewissen  
Temperaturbereich (etwa 100°C) unter Aufschmelzen der  
Reaktionssubstanzen eine exotherme Reaktion abläuft, die  
eine geringe Reaktivität für Spezies erfordert, die in der  
Reaktion entstehen. Es handelt sich um ein thermodynamisch  
stabilem Zustand, der durch die Abwesenheit von Wasserstoff-  
ionen und damit die Stabilisierung der Reaktion bestimmt wird.  
Die Reaktion ist in Reaktionen, die in der  
Reaktion entstehen.

### Überprüfung der Ergebnisse

Die Ergebnisse sind in Tabelle 1 zusammengefasst. Es ist zu  
merken, dass die Ergebnisse nicht direkt verglichen werden  
können, da die Reaktionen unterschiedlich sind.

Die Ergebnisse zeigen, dass die Reaktionen unterschiedlich sind.

00000542

00000542

00000543

*Leptodactylus* (*Leptodactylus*) *lithomorphus* (Wiegmann) is often said to differ from *lithomorphus*

Bei eingeschränkter Bewegung kann die Kniegelenksbewegung auf die Gelenke des Fußes übertragen werden.

10. The following table gives the number of cases of smallpox reported in each State during the year 1802.

10. The following table gives the number of cases of smallpox reported in each State during the year 1802.

*[A faint, illegible horizontal line, possibly a signature or a mark.]*

~~THESE ARE THE PAPERS OF THE FEDERAL BUREAU OF INVESTIGATION, U.S. DEPARTMENT OF JUSTICE.~~

—  
—  
—

~~Während die anderen drei Tiere auf dem Wasser schwammen, schwamm der kleine Fisch unter Wasser.~~

Subject: Customer Information and Details

Was für eine Menge Arbeit und Mühe kostet die Herstellung eines solchen Kastens!

—  
—  
—

Die Beimengungen von Aldehyden und Säuren trüft erzeugen und die Süre  
entfernen, das sie vereinigt mit Salzen und die Aldehyden entfernen.

00000544

Die Ergebnisse der Untersuchungen zeigen, dass die Verteilung der Befunde auf die verschiedenen Stadien des Lebenszyklus von *Leucaspis* und *Leucaspis*-ähnlichen Arten unterschiedlich ist. So sind z.B. bei den Larven von *Leucaspis* und *Leucaspis*-ähnlichen Arten die Verteilung der Befunde auf die verschiedenen Stadien des Lebenszyklus unterschiedlich.

Die Kinder lieben es, mit Vögeln zu spielen und zu singen. Sie sind sehr neugierig auf die Vögel im Hinterhof und im Park. Sie haben eine eigene Vogelwelt entdeckt und möchten sie erkunden. Sie sind sehr interessiert, was die Vögel essen und wie sie sich verhalten.

1964-1965

1940 1941 1942 1943 1944 1945 1946 1947 1948 1949

10. *Leucanthemum vulgare* L. (L.)

10. *Leucosia* sp. (Diptera: Syrphidae) was collected from the same area as the *Chrysanthemum* plants.

10. The following table shows the number of hours worked by each employee.

*[Handwritten signature]*

10. The following table shows the number of hours worked by each employee in a week.

14. *Deutsche Schriftsteller und ihre Werke* (1900) ist eine Sammlung von Kurzbiographien und -kritiken von deutscher Literatur des 19. Jahrhunderts. Es enthält über 1000 Seiten mit zahlreichen Abbildungen und Illustrationen.

10. The following table gives the number of cases of smallpox in each of the 100 districts of the United States.

Da die kinetischen Vorteile des Oxo-Verfahrens bisher nur von geringer Interesse sind, war sich der Einsatz weiterer Arbeit nicht lohnen würde.

d) Versuch mit Iso-hepten bei Gegenwart von Methanol (Bildung v.

Iso-hepten wurde mit  $\text{CO} + \text{H}_2$  bis  $100^\circ\text{C}$  und  $110^\circ\text{C}$  bei Erwärmezeit von  $1\text{ min}$  auf  $1\text{ min}$  umgesetzt. Es wurde ein Öl von gewöhnlichem blumigen Geruch erhalten.  $\text{Kp} = 120^\circ\text{C}$ ;  $\text{d}_{40}^{20} = 0.849$ . Spezifische physikalische Kennzahlen waren nur sehr gering ( $\text{SUS} = 0.02 = 0.6$ ,  $\text{DRE} = 2.6$  mg  $\text{KOH}/\text{g}$ ,  $\text{Vt} = 20$  mg  $\text{KOH}/\text{g}$ ). Nach Kochen mit alkoholischer Salzsäure konnte eine Carbonylzahl von etwa  $130$  mg  $\text{KOH}/\text{g}$  festgestellt werden und es gelang aus dieser Lösung das Semicarbozan des  $\beta$ -Methyl-capronaldehyds zu isolieren und identifizieren. Weiterhin konnte durch Kochen mit Essigsäureanhydrid und Schwefelkohlenstoff Jod-methyl erhalten werden und so Methoxylgruppen in der Substanz nachgewiesen werden.

Damit ist sichergestellt, daß es sich um das  $\beta$ -Methyl-capronaldehyd-Semicarbozan handelt, das aus Iso-hepten,  $\text{CO/H}_2$  und Methanol entstanden ist.



Das Ergebnis ist von Interesse, da es ein neues Herstellungsverfahren für Semicarbozane eröffnet.

Es handelt sich um Stoffe, die nach Einwirkung von  $\text{CO}$  und  $\text{H}_2$  aus

$\alpha$ -Methyl- $\gamma$ -hepten-( $\beta$ -Methylcaproaldehyd),  $\text{Kp} = 140-142^\circ\text{C}$

$\alpha$ -Methyl- $\gamma$ -hepten-( $\beta$ -Methylcaproaldehyd)-Semicarbozan,  $\text{Kp} = 100-110^\circ\text{C}$

$\alpha$ -Methyl- $\gamma$ -hepten-( $\beta$ -Methylcaproaldehyd)-Jod-methyl,  $\text{Kp} = 164^\circ\text{C}$

$\alpha$ -Methyl- $\gamma$ -hepten-( $\beta$ -Methylcaproaldehyd)-Methoxyl,  $\text{Kp} = 168-170^\circ\text{C}$

Es handelt sich um Stoffe, die nach Einwirkung von  $\text{CO}$  und  $\text{H}_2$  aus

$\alpha$ -Methyl- $\gamma$ -hepten-( $\beta$ -Methylcaproaldehyd)-Semicarbozan,  $\text{Kp} = 138^\circ\text{C}$

$\alpha$ -Methyl- $\gamma$ -hepten-( $\beta$ -Methylcaproaldehyd)-Jod-methyl,  $\text{Kp} = 170^\circ\text{C}$

$\alpha$ -Methyl- $\gamma$ -hepten-( $\beta$ -Methylcaproaldehyd)-Methoxyl,  $\text{Kp} = 176^\circ\text{C}$

Es handelt sich um Stoffe, die nach Einwirkung von  $\text{CO}$  und  $\text{H}_2$  aus

$\alpha$ -Methyl- $\gamma$ -hepten-( $\beta$ -Methylcaproaldehyd)-Semicarbozan,  $\text{Kp} = 138^\circ\text{C}$

$\alpha$ -Methyl- $\gamma$ -hepten-( $\beta$ -Methylcaproaldehyd)-Jod-methyl,  $\text{Kp} = 170^\circ\text{C}$

$\alpha$ -Methyl- $\gamma$ -hepten-( $\beta$ -Methylcaproaldehyd)-Methoxyl,  $\text{Kp} = 176^\circ\text{C}$

Es handelt sich um Stoffe, die nach Einwirkung von  $\text{CO}$  und  $\text{H}_2$  aus

$\alpha$ -Methyl- $\gamma$ -hepten-( $\beta$ -Methylcaproaldehyd)-Semicarbozan,  $\text{Kp} = 138^\circ\text{C}$

$\alpha$ -Methyl- $\gamma$ -hepten-( $\beta$ -Methylcaproaldehyd)-Jod-methyl,  $\text{Kp} = 170^\circ\text{C}$

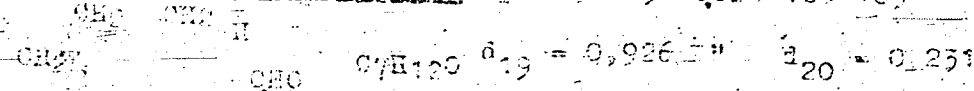
$\alpha$ -Methyl- $\gamma$ -hepten-( $\beta$ -Methylcaproaldehyd)-Methoxyl,  $\text{Kp} = 176^\circ\text{C}$

- 7 -

a) Untersuchung der unter 200° siedenden Anteile

Die niedrigsiedenden Reaktionsprodukte, die bei gut geleiteten Umsatz bis zu 90 % des Produkts betragen, werden an einer Widmer-Kolonne sorgfältig fraktioniert. Es gelingt dabei, den Hexahydro-benzaldehyd und den Hexahydro-<sup>1)</sup>-benzaldehyd zu trennen und zu isolieren.

Hexahydro-benzaldehyd: Kp. 161-163° Gef. 160-163°



Semicarbazone: Fp. 176° Gef. Fp. 175°

Darstellung in üblicher Weise durch Kochen mit Semicarbazid-hydroschlorid + Kaliumacetat in alkoholischer Lösung. Es kristallisiert aus verdünntem Alkohol in farblosen Blättchen.

Analyse: C<sub>8</sub>H<sub>15</sub>N<sub>3</sub>O: Ber. C 56,76 % H 8,94 % N 24,83 %  
Gef. 56,92 % 9,27 % 25,69 %

2,4-Dinitrophenylhydrazone: Fp. 173°

Darstellung: 2-cm Aldehyd werden mit einer Lösung von 3 g Dinitrophenylhydrazin in 150 cm³ Alkohol + 3 cm konz. Salzsäure 15 Min. am Rückfluss gekocht. Der ausgefallene Niederschlag wird nach Erkalten abfiltriert. Aus Chloroform-Methanol kristallisiert das Dinitro-phenylhydrazen in goldgelben Blättchen.

Analyse: C<sub>13</sub>H<sub>16</sub>N<sub>4</sub>O<sub>4</sub>: Ber. C 53,38 % H 5,51 % N 19,16 %  
Gef. 53,44 % 5,52 % 19,28 %

Hydrochinon: Kp. 161° Gef. 160-162°

$d_{20} = 0,940$  Gef. 0,951

Gef.: OHS = 1430 mg KOH/g 66 % d. Th.

2,5-Dinitrobenzoat

Darstellung: 2 g Alkohol gelöst in 20 cm Pyridin werden mit einem Überschuss Dinitrobenzoylchlorid über Nacht bei 20° stehen gelassen, mit 100 cm³ Wasser versetzt und abfiltriert. Aus Methanol-Wasser kristallisiert das Dinitrobenzoat in langen farblosen Nadeln.

Analyse C<sub>8</sub>H<sub>15</sub>N<sub>2</sub>O<sub>5</sub>: Ber. C 54,41 % H 5,23 % N 9,63 %  
Gef. 54,57 % 5,50 % 9,09 %

Das gut kristallisierte Derivat eignet sich vorsätzlich zum Nachweis des Alkohols im Gemisch mit anderen Stoffen.

b) Untersuchung der hochsiedenden Produkte

Der über 200° siedende Rückstand enthält in grössterer Menge elektrophilisch siedende Substanz der

Dimeren Hexahydro-benzaldehyd: Kp. = 151°<sup>1)</sup> Gef. Kp. = 151-152°

C<sub>14</sub>H<sub>24</sub>O<sub>2</sub>:  $d_{20} = 0,936$  Mol. Gew. = 200

Die analytischen Konstanten werden unter gleichzeitiger Zidur sehr kleine. Die Identifizierung erfolgt durch Reaktion mit wässriger alkoholischer 3,4-Dinitro-phenylhydrazin-Lösung. Durch Verdunstung wird die dioxane Verbindung abgespalten und man erhält das 3,4-dinitro-phenylhydrazone des amminen-fidehyds, das durch Elementaranalyse und IR-Spektrum leicht identifiziert werden kann.

Die Ungesättigte Phenylketone, z.B. Phenylaceton, werden durch die Wittig-Reaktion in Alkyl-phenylketone zerlegt und dienten für s. wurden auch die entsprechenden Phenylketone bei Wittig-Reaktion zerlegt. Es fand ein schwefelhaltiges Alkyl-phenylketon vom F.P. 130-140° statt, das sich durch Kundrat'sche Reaktion leicht Farbstoff (gesucht) darstellt. Durch Umwandlung zu Aluminimumchlorid (umgesetzt nach Brockmann) entsteht aus Bechot-Bengal Red eine azinophenolische Verbindung der korrespondierenden Aldehyd ab, ebenso wie es Wittig und Reichenbach durch Umwandlung von Phenylketon mit Aldehyd (wahrscheinlich Acetaldehyde) azinophenolische Verbindungen gezeigt haben. Die Ungesättigte Phenylketone werden durch Wittig-Reaktion in Alkyl-phenylketone zerlegt und dienten für s. wurden auch die entsprechenden Phenylketone bei Wittig-Reaktion zerlegt. Es fand ein schwefelhaltiges Alkyl-phenylketon vom F.P. 130-140° statt, das sich durch Kundrat'sche Reaktion leicht Farbstoff (gesucht) darstellt. Durch Umwandlung zu Aluminimumchlorid (umgesetzt nach Brockmann) entsteht aus Bechot-Bengal Red eine azinophenolische Verbindung der korrespondierenden Aldehyd ab, ebenso wie es Wittig und Reichenbach durch Umwandlung von Phenylketon mit Aldehyd (wahrscheinlich Acetaldehyde) azinophenolische Verbindungen gezeigt haben.

Die Funktion von K<sub>2</sub>SO<sub>4</sub> ist wahrscheinlich Verstärkung der Zersetzungskräfte (die Zersetzungskräfte liegen bei 25/0, 50% höher). Sie wurde daher für die ersten Versuchsräume verifiziert, dabei konnte Maximalzersetzungswert von 100% erreicht werden. Bei 100 g KOH/g das Produkt wurde kontrolliert bis zur Reaktion 1700-1900 Minuten (das 3-4 Doppelungen) und dann abgebrochen, da von 100-94% erhalten wurde. Dadurch ist eine Verteilung des Natriumacetat auf verschiedene "Zersetzungsschichten" nicht möglich. Dies ist in Abb. 17 zu erkennen, wobei nach dem CIE-Farbfilter die Schichten von oben nach unten folgen: Acetat, Wasser, Acetat, Wasser, Acetat, Wasser, Acetat.

Während die ersten beiden Stufen Produkte des Acetylketons sind

1953-1954. 2.4 Dinitro-phenoxyethanol P-1722  
1954. 2.4 Dinitro-phenoxyethanol P-1722

Die Ergebnisse der Untersuchungen sind in Tabelle 1 zusammengefasst. Die Ergebnisse der Untersuchungen zeigen, dass die Anwendung von Sauerstoff mit Sauerstoffabsaugung eine signifikante Reduktion des  $\text{HbA}_1c$ -Wertes um 1,4% erzielte. Eine ähnliche Reduktion wurde durch die Anwendung von  $\text{CO}_2$  und  $\text{O}_2$  in einem  $50\%/\text{Sauerstoff}$  Gemisch erreicht. Die Ergebnisse der Untersuchungen zeigen, dass die Anwendung von  $\text{CO}_2$  und  $\text{O}_2$  in einem  $50\%/\text{Sauerstoff}$  Gemisch eine signifikante Reduktion des  $\text{HbA}_1c$ -Wertes um 1,4% erzielte.

Antelope Pointe 10 miles S E 70,000 ft. 12,000 ft. 10,000 ft. 8,000 ft.

Die Untersuchungsergebnisse der Tiere aus dem Bereich der Wacholderheide und Waldwiesen zeigen, dass die Wacholderheide eine geringere Diversität aufweist als die Waldwiesen. Die Wacholderheide ist ein monotypischer Lebensraum, während die Waldwiesen eine hohe Diversität aufweisen. Die Wacholderheide ist ein monotypischer Lebensraum, während die Waldwiesen eine hohe Diversität aufweisen.

Im höheren und späteren Alter kann die Epilepsie durchaus ohne Anfälle bestehen.

1. *Leucanthemum vulgare* L. (syn. *L. canum* L.) *White Marguerite*

Der Konservator sprach mit dem Besitzer des Hauses und dem Architekten Michaelis, um die Kosten der Reparaturen zu schätzen.

10. The following table gives the number of hours worked by each of the 100 workers.

Die Wirkung der sozialen Sicherung auf die Haushalte ist insofern unterschiedlich, als dass sie bei den sozialen Sicherungsmaßnahmen eine unterschiedliche Ausprägung der sozialen Sicherung auf die Haushalte hat.

10. The following table gives the number of cases of smallpox reported in each State during the year 1802.

1935-1936

३५४ विजयनाथ शर्मा

—  
—  
—

RECEIVED - GOVERNMENT CITIZENS BANK AND TRUST COMPANY

प्राप्ति विद्युतेन विद्युतेन विद्युतेन विद्युतेन विद्युतेन

卷之三

१०८ विषयात्मक अधिकारी के लिए नियमित विज्ञप्ति देखना चाहिए।

200 1200

*[A faint, illegible signature or mark is present at the bottom center of the page.]*

1 2 3 4 5 6 7 8 9 10 11 12 13 14 15 16 17 18 19 20 21 22 23 24 25 26 27 28 29 30 31 32 33 34 35 36 37 38 39 40 41 42 43 44 45 46 47 48 49 50 51 52 53 54 55 56 57 58 59 60 61 62 63 64 65 66 67 68 69 70 71 72 73 74 75 76 77 78 79 80 81 82 83 84 85 86 87 88 89 90 91 92 93 94 95 96 97 98 99 100

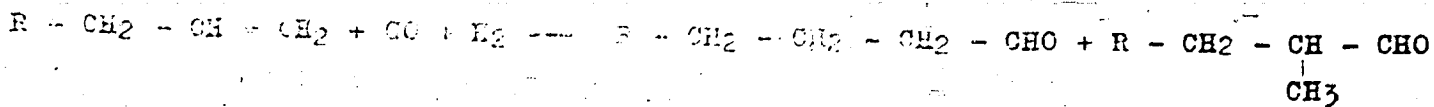
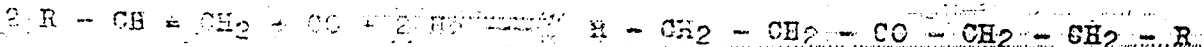
10. The following table shows the number of hours worked by each employee.

10. The following table gives the number of hours worked by each of the 1000 workers.

10. The following table gives the number of hours worked by each of the 100 workers.

Einwirkung von Kohlensäure und Sodapulpa auf

Die oben genannten Güter sind derzeit nicht mehr im Besitz des Hauses, sondern befinden sich in den Händen eines anderen Eigentümers.

2) Ketone:B) Sekundäre Reaktionsprodukte1) Alkohole  $R - \text{CH}_2 - \text{CH}_2 - \text{OH}$ 2) Säuren  $R - \text{CH}_2 - \text{CH}_2 - \text{COOH}$ 3) Ester aus 1+2 (Durch Cannizzarosche Umlagerung der Aldehyde entstanden)4) Höhermolekulare Ester5) Kondensation- und Polymerisationsprodukte der Aldehydea) Bei Gegenwart niedrigmolekularer Alkohole (z.B.  $\text{CH}_3\text{OH}$ ) werden auch Acetale erhalten.b) Eine Hydrierung der Olefine oder ein Umsatz zwischen CO und  $\text{H}_2$  nach Fischer wurde nicht beobachtet.Anwendung des Oxo-Verfahrens auf Olefine der Kettenlänge C<sub>12</sub>-C<sub>18</sub>

Nachdem der prinzipielle Verlauf der Oxo-Reaktion an einigen definierten Olefinen mittlerer Kettenlänge geklärt worden war, wurde sie auf einige technische Olefine übertragen, die auch im größeren Maßstab zugänglich waren. Es wurden dazu eingesetzt M<sub>4</sub>-Olefin (Mischpolymerisat aus Iso-hexylen + heptylen), Rührchemie-Kräckolein und synthetische Olefine, die nach dem Synthesis-Verfahren aus CO und  $\text{H}_2$  erhalten wurden (Leuna KWSY-Produkt). Diese Rohstoffe waren natürlich keine einheitlichen Körper. Sie wurden vor ihrem Einsatz für das Oxo-Verfahren in einzelne 10-20° Fraktionen zerlegt. Dieses war nötig, um eine möglichst vollständige Neutralität von den Oxo-Produkten zu gewährleisten mit dem Ziel, durch Destillation noch trennen zu können. Bei den eingesetzten Kettenlängen von C<sub>12</sub>-C<sub>18</sub> beträgt die Differenz der Siedepunkte des Ausgangsmaterials und der Aldehyde bzw. Alkohole, die daraus durch Anlagerung von CO und  $\text{H}_2$  entstehen, etwa 30-40°. Der Olefingehalt der eingesetzten Fraktionen war wechselnd, z.T. enthielten sie auch noch sauerstoffhaltige Verbindungen. Die Untersuchungen der technischen Olefine dienten vor allem folgenden Zielen:

a) Synthetischen Versuchen zur Verbesserung der verfahrenstechnischen Seite des Oxo-Verfahrens (Verbesserung der Katalysatoren), sowie Übertragung der Versuche in ein halbtechnisches und größeres Ausmaß. (Siehe Bericht von Dr. Gemahner).

b) Prüfung der Reaktionsergebnisse und ihre wirtschaftliche Verwendbarkeit. Die Oxydation der Aldehyde zu Fattyäuren und Seifen, sowie eine anderweitige Verwendbarkeit der Aldehyde wurde vorläufig noch nicht intensiv untersucht. Eingehender wurden dagegen die nach dem Oxo-Verfahren zugänglichen Alkohole bearbeitet, die in die entsprechenden Natriumalkoholsulfate überführt wurden. Da zu erwarten war, daß letztere gute Waschmittel abgeben würden, fand eine genaue Untersuchung der physikalisch-mischen Eigenschaften statt, die im Laborbericht Nr. 135 des Verwaltungsstabes von Dr. Asinger, Dr. Eckhardt und Dr. Ebenedek niedergelegt ist (Juni 1941).

Die Olefinfraktionen wurden in üblicher Weise mit CO und H<sub>2</sub> umgesetzt und es wurden die Aldehyde sofort im Autoklaven mit Wasserstoff nachreduziert (Die Temperatur wird dabei auf 180-190° gesteigert). Dabei wird auch gleichzeitig das aus dem Katalysator stammende Cobaltkarbonyl zerstört. Die Aufarbeitung der Alkohole gestaltet sich im allgemeinen viel einfacher als bei den Aldehyden, da sie viel unempfindlicher sind. Außerdem wird bei der Reduktion im Autoklaven ein großer Teil der sekundären Umwandlungsprodukte der Aldehyde z.B. Säuren, Ester und Polymere wieder in den monomolekularen Alkohol zurückverwandelt. Es verbleiben für den Rückstand lediglich sekundäre Alkohole (aus den Ketonen entstanden) und Reduktionsprodukte der Aldole. Die Abtrennung des Neutralöls (hauptsächlich Paraffinkohlenwasserstoffe) erfolgte durch eine 2-malige fraktionierte Destillation im Vakuum, wobei es gelang, Alkohole von einem Reinheitsgrad von etwa 93-100% zu isolieren.

a) Versuche mit M<sub>4</sub>-Olefin

Ein M<sub>4</sub>-Olefin, das hauptsächlich aus C<sub>12</sub>-Kohlenwasserstoff bestand (Mol. Gew. 168; Bromzahl: 1020 mg Br<sub>2</sub>/g) wurde mit CO und H<sub>2</sub> umgesetzt, nachhydriert und durch Destillation aufgearbeitet. Neben einem Verlauf von etwa 10% nicht umgesetzten Olefins konnten etwa 50% des Produkts als ein einheitlich zwischen 144 und 150°/17 mm siedender Alkohol isoliert werden. Seine Daten kennzeichnen ihn als ein Tridecanol.

Analyse: C<sub>13</sub>H<sub>28</sub>O Ber: C 77,93% H 14,14%

Gef: 78,22% 14,12%

Hydroxylzahl: Ber: 280 Gef: 266 mg KOH/g

Der Rückstand vom Kp 190-235°/1 am enthält ebenfalls vorwiegend Hydroxylgruppen. Sein Mol. Gew. beträgt etwa 400-450. Als Ausgangsprodukt für Waschmittel hat das M<sub>4</sub>-Olefin gar keine Bedeutung. Das aus ihm gewonnene Alkoholsulfat schaumt zwar bereits und ist auch als Netzmittel zu verwenden, hat es nur sehr geringe Reinigungskraft, da

- a) die Kohlenstoffkette noch zu kurz (C<sub>13</sub>) und
- b) außerdem verzweigt ist.

b) Versuche mit Ruhrchemie-Krackolefinen

Das Olefingemisch wurde in einer 12 m-Kolonne (Rücklauf 1:4) fraktioniert und in 10°-Fraktionen verlegt. Der Olefingehalt wurde sowohl durch die Bromzahl als auch durch Absorption an Phosphor-Schwefelsäure bestimmt. Er nahm von 60% bei dem Vorlauf (Kp < 230°) bis auf 2% bei der Fraktion 290/300° (C<sub>16</sub>/17) ab. Säuren, Alkohole und Aldehyd sind höchstens in Spuren nachzuweisen.

Die Fraktionen 230° - 240° (C<sub>13</sub>) mit 51% Olefin

250° - 260° (C<sub>14</sub>) " 46% "

270° - 280° (C<sub>15</sub>) " 38% "

290° - 300° (C<sub>16</sub>/17) " 24% "

wurden der Oxo-Reaktion unterworfen, nachhydriert und durch Destillation im Vakuum aufgesamtet.

Es wurden dabei einheitliche Alkoholfaktionen erhalten, die völlig farblos waren, keinen unangenehmen Beigaben aufweisen und nach einem Stehen kristallisierten.

Die Schmelzpunkte lagen durch das Auftreten des -methylverzweigten Alkohols im Reaktionsprodukt niedriger als bei geradkettigen Alkoholen und waren nicht sehr charakteristisch.

In einzelnen wurden erhalten:

Olefinfrakt. Kp	C-Zahl Olefin/Alkohol	Eigenschaften des Alkohols				
		Fp	Kp	CHZ ber.	CHZ gef.	% Alkohol
230 - 240°	13	14	30-35°/175-190°/20	262	252	96
250 - 260°	14	15	30-35°/175-190°/20	246	246	100
270 - 280°	15	16	40-45°/200-210°/22	231	211	91,5
290 - 300°	16/17	17/18	55°/215-225°/23	213	201	94,5

Zur Charakterisierung wurden auch einige Dinitrobenzoate dargestellt. (Mit Pyridin und 3,5-Dinitrobenzylchlorid) Sie wurden aus Aceton-Methanol umkristallisiert.

Z.B. aus C14-Alkohol: Dinitrobenzoat : Fp 61 - 62° (I)

" C16 " : Fp 61 - 62° (II)

Die Proben I und II ergaben untereinander eine starke Schmelzpunktsdepression; dasgleiche Produkt I mit dem Dinitrobenzoat von Cetyl-Alkohol Fp 68°. Letzteres gab dagegen mit II keine Depression. Infolge der uneinheitlichen Zusammensetzung der Alkohole (Isomeren!) erwiesen sich die Schmelzpunkte der Dinitrobenzoate als nicht sehr charakteristisch.

Die hochsiedenden Rückstände aus Frak. Olefin enthielten vermutlich ebenfalls Alkohole. Sie wurden nicht weiter untersucht.

Beim Versuch, die Fraktion 290-300° auf Aldehyd zu verarbeiten, ergab sich eine wesentlich schlechtere Ausbeute und viel hochsiedender Rückstand. Aus den Hauptfraktionen vom Fp 208/217°/22 mm und 218-225°/22 mm wurde ein Oxim vom Fp 83° erhalten.

### c) Versuche mit Leuna KWSy Produkt

Das synthetische Olefingemisch (Leuna KWSy Produkt dargestellt aus CO und H<sub>2</sub> mit Fe Kontakt) wurde in einer 12 m-Kolonne (Rückfluß 1:4) in 20°-Fraktionen zerlegt.

Das Produkt enthielt noch Sauerstoff.

Analyse Fr. 280 - 300° : C 83,66 % H 14,17 % O 2,21 %

Fr. 300 - 320° : 83,85 % 14,08 % 2,07 %

Vergleicht man die Werte mit Cetylalkohol (C<sub>16</sub>H<sub>34</sub>O), der einen Sauerstoffgehalt von 6,4% hat, so erkennt man, daß man im KWSy Produkt mit einem Gehalt von etwa 30% C-haltigen Verbindungen rechnen kann.

Bei der weiteren Untersuchung wurde gefunden, daß der Gehalt an Säuren und Carbonylverbindungen nur sehr gering ist (<1%), daß aber merkliche Mengen Ester und Alkohol vorhanden sind. Der Alkoholgehalt nahm von 18,1% in der

Fraktion 200-220° (berechnet auf Nonylalkohol Kp 215°) bis auf 1,9 % in der Fraktion 320-340° (ber. auf Cetylalkohol) stetig ab, während der Gehalt an Ester von 2,4 % in der Fr. 200 - 220° (ber. auf C<sub>10</sub>-Ester) anstieg bis auf 14,9 % in der Fraktion 300-320° (ber. f. C<sub>14/15</sub>-Ester).

Der Olefingehalt der Fraktionen lag zwischen 43 und 47 % (Bestimmt mittels der Bromzahlmethode nach Winkler). Es ist bei dem vorliegenden Produkt nicht möglich, den Olefingehalt mittels Phosphorschwefelsäure zu bestimmen, da diese Methode auch die sauerstoffhaltigen Verbindungen mit erfäßt und zur diese Weise Werte von 60-65 % ungesättigten Kohlenwasserstoffen vorgetäuscht werden. (Die Zusammensetzung der KWSy-Ole ist im übrigen nicht gleichbleibend, da z.B. der Alkoholgehalt durch die Bedingungen der Synthese in weiten Grenzen variiert werden kann).

Verschiedene Fraktionen von KWSy-Produkt wurden der Oxo-Reaktion unterworfen und nachhydriert. Es gelang ebenso wie bei den Krackolefinen durch fraktionierte Destillation die betreffenden Oxo-Alkohole abzutrennen, die sich auch in diesem Fall durch eine große Reinheit auszeichneten.

Olefinkfrakt. Kp	C-Zahl		Fp	Eigenschaften des Alkohols			
	Olefin	Alkohol		Kp	CHZ ber.	CHZ gef.	% Alkohol
200 - 220°	13	14		150-170°/20	262	251	96
220 - 240°	14	15	25-30°	180-190°/20 (+190-200°)	246	247	100
260 - 280°	15	16	30-40°	200-210°/22	232	230	99
280 - 300°	16	17	-	210-240°/23	219	111	50 <sup>1)</sup>
300 - 320°	-	-	-	-	-	-	-
320 - 340°	19	20	-	250-260°/20	199	92	47 <sup>1)</sup>

Während bei den Krackolefinen im Destillationsvorlauf, der die Paraffinkohlenwasserstoffe enthält, nur noch wenig Alkohol (5-10 %) gefunden wurde, der durch unvollkommene Destillation nicht abgetrennt werden konnte, findet man beim Einsatz des KWSy Öls für die Oxo-Reaktion im Verlauf hohe Hydroxylzahlen. Es handelt sich hierbei

- a) um die Alkohole, die schon im Ausgangsmaterial nachgewiesen wurden und
- b) um die Alkohole, die durch Aufspalten der Ester des Ausgangsmaterials beim Nachhydrieren entstanden sind.

Da sie sich destillativ nicht abtrennen lassen, sind andere Wege notwendig, um auch diese Alkohole vom Neutralöl zu trennen. Darüber kann z.Zt. noch nichts Näheres verlautet werden lassen.

Eine Charakterisierung der einzelnen Alkoholfractionen durch Dinitrobenzoate erwies sich als nicht sehr günstig, da ihr Schmelzpunkt durch die verschiedenen isomeren Alkohole schwer zu fixieren ist.

<sup>1)</sup> Wahrscheinlich gelingt bei systematischer Bearbeitung auch aus den hochmolekularen Fraktionen günstigere Ergebnisse zu erhalten.

Es wurde versucht, aus den Oxo-Alkoholen aus EWSy-Produkt ebenso wie aus denen, die sich von den Krackolefinen herleiten, die Natriumalkylsulfate darzustellen. Sie zeichneten sich durch günstige kapillarchemische Eigenschaften aus (Näheres siehe Bericht: Dr. Asinger, Dr. Eckhardt, Dr. Ebeneder, Vers. Labor. Nr. 133).

#### Zusammenfassung

Verschiedene Kohlenwasserstoffgemische der Kettenlänge C<sub>12</sub>-C<sub>18</sub> mit einem Olefineinhalt von 25-56 % wurden mit CO und H<sub>2</sub> umgesetzt; nach Hydrierung und durch Destillation aufgearbeitet. Es gelang dabei, Alkohole vom hohen Reinheitsgrad zu isolieren, die als Rohstoffe für Wachsmittel geeignet sind.

VI. Anhang. - Verwendung von Alkoholen für die Darstellung von Waschmitteln

Von besonderem Interesse war es, die Alkohole, die durch das Oxo-Verfahren zugänglich sind, mit Schwefelsäure zu vereestern und die Sulfierungsprodukte zu vergleichen mit denen anderer aliphatischer Alkohole sowie den Produkten, die man durch direkte Sulfonierung von Olefinen erhält.

Eine eingehende Untersuchung wurde insbesondere mit den verschiedenen Sulfierungsprodukten der Kettenlänge C<sub>16</sub> angestellt und im Laborbeispiel des Versuchslaboratoriums Merseburg Nr. 133 von Dr. Asinger, Dr. Eckhardt und Dr. Ebeneder, Januar 1941, niedergelegt. Die Untersuchung ergab nur geringfügige Unterschiede bezüglich Schaumvermögen, Netzfähigkeit und Weißwaschvermögen. Die Fettalkoholsulfate von Cetylalkohol und Oxoalkohol aus Ruhrchemiekrackolein zeigten sich den übrigen Produkten etwas überlegen. Wesentlich ausgeprägter war der Unterschied bei der Wollwäsche, wo die Olefinsulfonate, sowie ein Hexadekansulfonat mit endständiger Sulfogruppe merklich schlechter waren als die Fettalkoholsulfonate.

Darüber hinaus haben wir noch einige andere Alkoholfraktionen mit Chlorsulfonsäure umgesetzt. An dieser Stelle möchten wir jedoch nur einen kurzen Überblick über die dargestellten Produkte und ihre wichtigsten Eigenschaften geben. Alle Einzelheiten bezüglich Darstellung und Aufarbeitung sind dem oben erwähnten Laborbericht zu entnehmen.

## Übersicht über einige Alkoholsulfonate

Alkohol	Aufarbtg.	Netzzeit in g/l	Zeit	Schaumhöhe bei 70°		
				1 g/l	0,5 g/l	0,25 g/l
C17/18 Oxo-Alkohol aus Krackolefin Fr. 290 - 300°	salzfrei	1,81 20°	30 sec.	860	700	600
		0,09 70°	120 "	730	595	510
			300 "	620	515	440
C18 Alkohol aus Cetylalkoholrückstand	roh	2,5 40°	30 "	800	760	600
			120 "	665	650	500
			300 "	570	555	410
C16-Alkohol (Cetylalkohol)	salzfrei	0,72 20°	30 "	1160	1080	910
		0,048 70°	120 "	1000	950	800
			300 "	820	780	680
C16 Oxo-Alkohol aus Krackolefin	salzfrei	0,59 20°	30 "	1100	990	740
		0,042 70°	120 "	940	860	610
			300 "	790	730	500
C15 Oxo-Alkohol aus Krackolefin Fr. 250 - 260°	salzfrei	0,48 20°	30 "	1130	1040	870
		0,05 70°	120 "	1060	890	790
			300 "	810	750	540
C15 Oxo-Alkohol aus KWSy Produkt Fr. 240 - 260°	salzfrei	0,36 20°	30 "	1140	1070	850
			120 "	1010	940	770
			300 "	835	800	600
C14 Oxo-Alkohol aus Krackolefin Fr. 230 - 240°	salzfrei	0,50 20°	30 "	1120	1020	870
		0,54 20°	120 "	980	860	730
			300 "	820	735	620
C14 Krackolefin-sulfonat Fr. 240 - 250°	salzfrei	0,48 20°	30 "	1050	850	520
		0,14 70°	120 "	900	700	430
			300 "	750	610	280
C14 Oxo-Alkohol-sulfonat aus KWSy-Prod. Fr. 220 - 240°	roh	-	30 "	1120	680	440
			120 "	970	570	360
			300 "	820	480	310
C14-18 Mischalkohol aus Krackolef.	roh	0,63 20°	30 "	1080	1010	840
			120 "	940	880	690
			300 "	760	720	620
C13 Oxo-Alkohol aus M4-Clefin	roh	0,59 20°	30 "	960	200	110
			120 "	600	40	40
			300 "	460	30	-

Wasser und Schläge ist erwartungsgemäß bei den langstetigen  
Schwundrissen noch selten nach Rüttelungen mit 1000 U/min. und  
1000 kp/cm<sup>2</sup> zu sehen.

Die Rüttelungen sind auch nicht sofort quantitativ ausgewirkt, sondern sie föhren  
zuerst zu einer Vergrößerung der Risse, so daß die kleinflächigen Sulfate hier auf unzureichende  
Abtropfzeit und eine Konsistenz der Quellschicht einer Kettierung

der Rüttelungen folgt und wird von körnigem Sulfat ausgelöst.  
Die Rüttelungen föhren zu einer Vergrößerung der Risse, so daß die kleinen Sulfate hier auf unzureichende  
Abtropfzeit und eine Konsistenz der Quellschicht einer Kettierung

der Rüttelungen folgt und wird von körnigem Sulfat ausgelöst.  
Die Rüttelungen föhren zu einer Vergrößerung der Risse, so daß die kleinen Sulfate hier auf unzureichende  
Abtropfzeit und eine Konsistenz der Quellschicht einer Kettierung

der Rüttelungen folgt und wird von körnigem Sulfat ausgelöst.  
Die Rüttelungen föhren zu einer Vergrößerung der Risse, so daß die kleinen Sulfate hier auf unzureichende  
Abtropfzeit und eine Konsistenz der Quellschicht einer Kettierung

der Rüttelungen folgt und wird von körnigem Sulfat ausgelöst.  
Die Rüttelungen föhren zu einer Vergrößerung der Risse, so daß die kleinen Sulfate hier auf unzureichende  
Abtropfzeit und eine Konsistenz der Quellschicht einer Kettierung

der Rüttelungen folgt und wird von körnigem Sulfat ausgelöst.  
Die Rüttelungen föhren zu einer Vergrößerung der Risse, so daß die kleinen Sulfate hier auf unzureichende  
Abtropfzeit und eine Konsistenz der Quellschicht einer Kettierung

der Rüttelungen folgt und wird von körnigem Sulfat ausgelöst.  
Die Rüttelungen föhren zu einer Vergrößerung der Risse, so daß die kleinen Sulfate hier auf unzureichende  
Abtropfzeit und eine Konsistenz der Quellschicht einer Kettierung

der Rüttelungen folgt und wird von körnigem Sulfat ausgelöst.  
Die Rüttelungen föhren zu einer Vergrößerung der Risse, so daß die kleinen Sulfate hier auf unzureichende  
Abtropfzeit und eine Konsistenz der Quellschicht einer Kettierung

der Rüttelungen folgt und wird von körnigem Sulfat ausgelöst.  
Die Rüttelungen föhren zu einer Vergrößerung der Risse, so daß die kleinen Sulfate hier auf unzureichende  
Abtropfzeit und eine Konsistenz der Quellschicht einer Kettierung

der Rüttelungen folgt und wird von körnigem Sulfat ausgelöst.  
Die Rüttelungen föhren zu einer Vergrößerung der Risse, so daß die kleinen Sulfate hier auf unzureichende  
Abtropfzeit und eine Konsistenz der Quellschicht einer Kettierung

der Rüttelungen folgt und wird von körnigem Sulfat ausgelöst.  
Die Rüttelungen föhren zu einer Vergrößerung der Risse, so daß die kleinen Sulfate hier auf unzureichende  
Abtropfzeit und eine Konsistenz der Quellschicht einer Kettierung

		1 g/l	0,5 g/l	0,25 g/l
Cetylalkoholsulfat rein	: 30 sec.	1090	1030	840
	120 "	950	910	700
	300 "	800	765	540
Desgl. mit 20 % Cetylalkoholzusatz:	: 30 "	920	760	540
	120 "	660	610	470
	300 "	710	530	340
Cetylalkoholsulfat techn.	: 30 "	1040	950	520
	120 "	890	770	405
	300 "	760	640	350
Desgl. mit 20 % C <sub>10</sub> -C <sub>11</sub> Alkohol :	: 30 "	4500	240	950
	120 "	950	820	470
	300 "	730	720	620

C<sub>16</sub>-Alkohole wirken also schaumkämpfend,

C<sub>10</sub>-C<sub>11</sub> " dagegen schaumverbessernd.

Da eine Beeinträchtigung des Weißwaschvermögens nicht festzustellen war,<sup>1)</sup> ist es evtl. zu erwägen, Alkoholsulfaten auf Verbesserung ihres Nettovermögens Alkohole mittlerer Kettenlänge beizugeben.

Abschließend kann festgestellt werden, daß die nach dem Oxo-Verfahren aus Krackolefinen und Leuna-KWSy-Olefinen dargestellten Alkohole zu guten Waschmitteln verarbeitet werden können. Eine Entscheidung darüber, ob der aufgezeigte Weg wirtschaftlicher ist als andere, kann in diesem Rahmen nicht gegeben werden.

### Zusammenfassung

Nach kurzer Erörterung der Reaktionsmöglichkeiten für den Kontakt von Olefinen mit CO und Wasserstoff werden die Produkte, die bei den entsprechenden Reaktionen von Iso-hexylen, Dodecylen und Cyclohexen entstehen, beschrieben, analysiert und durch Derivate charakterisiert. Als primäre Reaktionsprodukte kommen Aldehyde und Ketone, als sekundäre Reaktionsprodukte Säuren, Alkohole, Ester und Polymerisations- bzw. Kondensationsprodukte der Aldehyde nachgewiesen worden. Die Versuche wurden auf technische Olefine (Krackolefine und KWSy-Olefine) übertragen und diese auf Alkohole aufgesättigt. Durch Umsatz mit Chlorosulfinsäure werden daraus Schwefelsäureester dargestellt, deren waschtechnische Eigenschaften mit anderen Sulfonaten verglichen werden (vergl. hierzu auch Lab.-Bericht, Dr. Asinger, Dr. Eckhardt, Dr. Ebeneder, Januar 1941).

Die vorliegende Arbeit wurde in der Zeit vom 28.2.40-30.9.40 im Versuchslaboratorium Nr. 219 in Zusammenarbeit mit Herrn Dr. Gengler durchgeführt, der den technischen und verfahrensmäßigen Teil der Versuche bearbeitet hat und hierüber gesondert berichten wird.

¶ Herrn Dir. Dr. v. Staden

" Dr. Eckhardt

A.W.P.

R.E.S.

Versuchslabor. x Dr. Bannigk